Boletim Técnico da Escola Politécnica da USP Departamento de Engenharia de Energia e Automação Elétricas

ISSN 1413-2214 BT/PEA/9926

Simulação e Análise de Desempenho de Processos Visando a Otimização de Sistemas Integrados de Produção

Cícero Couto de Moraes Sergio Luiz Pereira José Roberto R. de Godoy

FICHA CATALOGRÁFICA

Moraes, Cícero Couto de

Simulação e análise de desempenho de processos visando a otimização de sistemas integrados de produção / C.C. de Moraes, S.L. Pereira, J.R.R. de Godoy -- São Paulo : EPUSP, 1999.

- 9 p. (Boletim Técnico da Escola Politécnica da USP, Departamento de Engenharia de Energia e Automação Elétricas, BT/PEA/9926)
- 1. Simulação 2. Automação 3. Sistemas a eventos discretos I. Pereira, Sergio Luiz II. Godoy, José Roberto R. de III. Universidade de São Paulo. Escola Politécnica. Departamento de Engenharia de Energia e Automação Elétricas IV. Título V. Série

ISSN 1413-2214

CDD 003 629.8 003.83

SIMULAÇÃO E ANÁLISE DE DESEMPENHO DE PROCESSOS VISANDO A OTIMIZAÇÃO DE SISTEMAS INTEGRADOS DE PRODUÇÃO

Autores:

Prof. Dr. Cícero Couto de Moraes Prof. Dr. Sergio Luiz Pereira Eng. José Roberto R. de Godoy

EPUSP/PEA
GAESI - Grupo de Automação Elétrica em Sistemas Industriais
E-Mail: cicero@pea.usp.br
sergio@pea.usp.br

Resumo:

Este trabalho demonstra a aplicação e análise de ferramentas computacionais de simulação, visando o desenvolvimento de metodologia específica para a otimização da aplicação dos equipamentos de automação e incremento da produção através da eliminação de gargalos e melhor utilização dos dispositivos produtivos da planta. Uma planta industrial de produção de cerveja é tomada como modelo para aferir os resultados e índices de desempenho e demonstrar os benefícios que podem ser obtidos com a previsibilidade da performance de diversas configurações sistêmicas.

I Introdução:

I.1 Simulação

A simulação consiste em construir um modelo e executar testes para determinar a performance e desempenho do sistema. Ela pode ser encarada como um laboratório em pré-teste para previsão do comportamento do sistema. Desta forma de maneira segura diversas configurações sistêmicas podem ser experimentadas sem que se tenha que pagar o ônus e nem assumir o risco de operacionalizá-

A representação computacional de um sistema real ou conceitual é efetuada através de modelo. O modelo passa então a ser o "laboratório virtual " que o engenheiro ou analista de sistemas tem ao seu dispor para testar e prever a operação e desempenho do sistema real. O modelo é uma abstração do sistema que contém características e comportamentos que devem retratar o mais fielmente possível o sistema real.

O modelo incorpora quatro componentes:

 Lógica: descreve as interações entre os processos e postos de trabalho e o comportamento do sistema.

- **2. Dados:** representam as características e especificam as decisões de desempenho dos postos de trabalho.
- 3. Animação: permite a visualização preditiva do comportamento do sistema.
- 4. Estatísticas: são relatórios e dados da série de variáveis analisadas durante a simulação. Exemplo destas variáveis são: quantidade de peças produzidas, tempo médio gasto para produzir cada peça, quantidade de peças rejeitadas, etc.

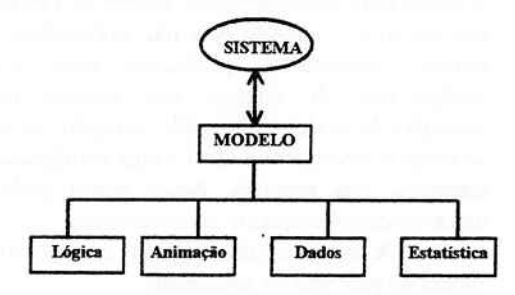


figura 1 - modelamento e simulação

Os diversos tipos de processos podem ser classificados de acordo com a natureza das grandezas ou variáveis controladas. Dentro desta classificação encontram-se quatro tipos:

- a) Processos Discretos: as principais variáveis controladas são discretas. As ocorrências são individuais e são denominadas eventos. Acontecem em pontos distintos no tempo. Exemplo: uma peça deixando um célula de montagem ou caminhão chegando a uma balança para ser pesado.
- b) Processos Contínuos: as principais variáveis controladas são contínuas. As alterações no processo ocorrem gradualmente (analogicamente). Exemplo: controle de fluidos ou pressão, etc.
- c) Processos Híbridos: combinam os dois anteriores.
- d) Processos de Serviços: podem ser encarados como processos discretos. Exemplo: a fila de atendimento de um caixa no banco.

I.2 Etapas do Processo de Simulação

A arte da simulação e os beneficios obtidos por ela começam com a capacidade de

construir um modelo que retrate o mais fielmente o sistema real e de especificar quais as variáveis serão aferidas dentro da simulação.

É nesta fase que também deve ser analisado o tipo de processo que se deseja simular, suas principais variáveis e definir qual o *software* mais apropriado para simular o processo definido.

Uma vez definida qual a ferramenta será empregada, constrói-se dentro do ambiente definido o modelo do processo a ser analisado.

Uma vez definida a ferramenta de simulação e construído o modelo do sistema real executa-se o processo de simulação e obtêm-se os resultados de desempenho. Efetua-se a análise dos mesmos e quando eles não apresentam os índices satisfatórios projeta-se uma nova configuração do sistema que implica uma alteração do modelo. Este ciclo se repete até que se atinja o desempenho ideal e cuja configuração sistêmica seja possível. Neste ponto pode-se tomar as decisões quanto ao sistema real.

A figura seguinte ilustra as sucessivas etapas do processo de simulação:

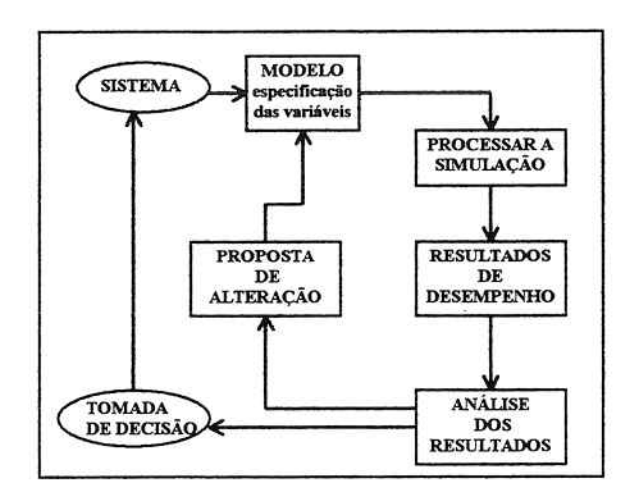


figura 2 - ilustrativo dos procedimentos e processo de simulação

Todo o processo de simulação pode ser dividido em 7 etapas principais:

I.2.1 - Etapa Estudo do Sistema:

A etapa em estudo é dividida em:

 a - Descrição do sistema: descrever todas as etapas e as principais características operativas de cada uma delas. Conhecer e aferir quais são os atuais índices de produção do sistema.

- b Compreensão e análise: compreensão e análise implica a identificação da natureza das variáveis controladas e aferidas no processo real.
 Implica também o conhecimento entre as interações lógicas entre os diversos postos de trabalho e a identificação das metas produtivas.
- c Definição do algoritmo: implica o conhecimento das etapas de cada trabalho dentro do processo produtivo, na natureza do trabalho e na forma como cada tarefa é executada.
- d Representação gráfica por diagrama de blocos da planta produtiva: baseada no item a, b e c a representação gráfica por diagrama de blocos ilustra as principais etapas do processo e contribui para a correta definição do modelo de simulação.

I.2.2 - Etapa Definição do Modelo de Simulação:

A etapa é composta de:

- a Lógica: a lógica define e especifica as diversas interações entre os postos de trabalho e a rota das tarefas e ordens de serviço dentro do modelo de simulação.
- b Dados: implica a quantificação dos índices de desempenho dos postos operativos e do fluxo do trabalho, tais como: tempo de rota entre as estações de trabalho, tempo de processo, taxas de falha, funções de distribuição de processamento e de chegada, definição das variáveis a serem aferidas, etc.
- Obs.: todos os itens do primeiro passo são fundamentais para que o modelamento (lógica e dados) seja efetuado de forma que retrate o mais fielmente possível o sistema físico a ser simulado.

I.2.3 - Etapa Processar a Simulação:

O processamento da simulação permite que se obtenha previsões de comportamento e índices de desempenho do sistema real. Alguns cuidados nesta etapa e na anterior possibilitam uma melhor visibilidade da performance do sistema bem como maior confiabilidade nos resultados obtidos. Alguns desses cuidados são:

a - utilização de representação (figuras)
 específica para cada natureza distinta do

trabalho e para os diversos estados dos postos e filas de trabalho. Um exemplo seria posto ocupado ou aguardando a chegada do material a ser processado.

- b Ordenação sistemática do modelo na tela de trabalho em consonância com o *lay-out* da planta.
- c Escolha correta e ajuste dos parâmetros de simulação como: velocidade de processamento, duração da simulação, número de replicações sucessivas, etc.

I.2.4 - Etapa Obtenção dos Resultados de Desempenho:

Processada a simulação o pacote fornece os dados das variáveis e dos índices de desempenho do sistema. O módulo output analyzer permite a apresentação gráfica dos resultados da simulação a partir dos arquivos de dados previamente definidos no módulo statistics do modelo.

No caso do software Arena o módulo output analyzer permite a apresentação gráfica dos resultados da simulação a partir dos arquivos de dados previamente definidos no módulo statistics.

I.2.5 - Etapa Análise dos Resultados:

Com base nos resultados obtidos na simulação deve-se aferir os índices de tempos e números de ordens de serviço médios, mínimos e máximos nas filas dos postos de trabalho. Comparar com os dados já conhecidos do sistema para verificar a veracidade e a consistência dos dados obtidos do modelo. Verificar a estabilidade do sistema através dos gráficos obtidos via o arquivo de dados e verificar se o comportamento dinâmico nas filas dos postos de trabalho é estável, crescente ou decrescente. Verificar os mesmos quesitos para as taxas de ocupação dos postos de trabalho.

I.2.6 - Etapa Proposta de Alteração:

Com base nos dados obtidos e analisados na 5^ª etapa, desenvolver, se necessário, um sistema alternativo e retornar à 2^ª etapa para remodelá-lo. Repetir o processo até

a 5⁸ etapa até que se obtenha os índices objetivados de desempenho.

I.2.7 - Etapa Tomada de Decisão:

Uma vez obtidos os índices de desempenho ótimos ou objetivados com a nova configuração sistêmica, propor a alteração sistêmica envolvendo o planejamento estratégico empresarial.

II Simulação de um Processo Industrial.

II.1 Definição e Descrição do Processo

O processo escolhido para ser simulado é um trecho de uma planta produtora de cerveja, envolvendo a descarga de malte e gride até o forno de cozimento. Este trabalho utiliza o software Arena 3.0 da Systems Modeling Corporation e adquirido pelo Convênio Rockwell Automation-EPUSP. As etapas do processo de simulação e resultados aferidos serão apresentados neste trabalho conforme modelo definido anteriormente. A figura 3 ilustra o processo produtivo.

1ª Etapa - Estudo do Sistema:

A entrada de matéria-prima na planta industrial é efetuada no ponto de descarga que abastece a moega. A fábrica recebe dois tipos de matéria-prima: malte e gride. Dependendo da matéria-prima que foi descarregada pelo caminhão a primeira esteira transportadora operará num sentido para abastecer os silos reservatórios de malte ou os silos reservatórios de gride.

A produção é subdividida em quatro macro etapas:

a - Descarga e transporte da matéria-prima para os silos reservatórios:

As carretas que abastecem a planta possuem uma capacidade de transporte de 18.000 kg cada uma.

O tempo de descarga é de 30 minutos.

O tempo para que a moega processe 18.000 kg é de uma hora.

A correia transportadora leva 1h10 min para transportar as 18 toneladas de matériaprima processada pela moega até os silos intermediários.

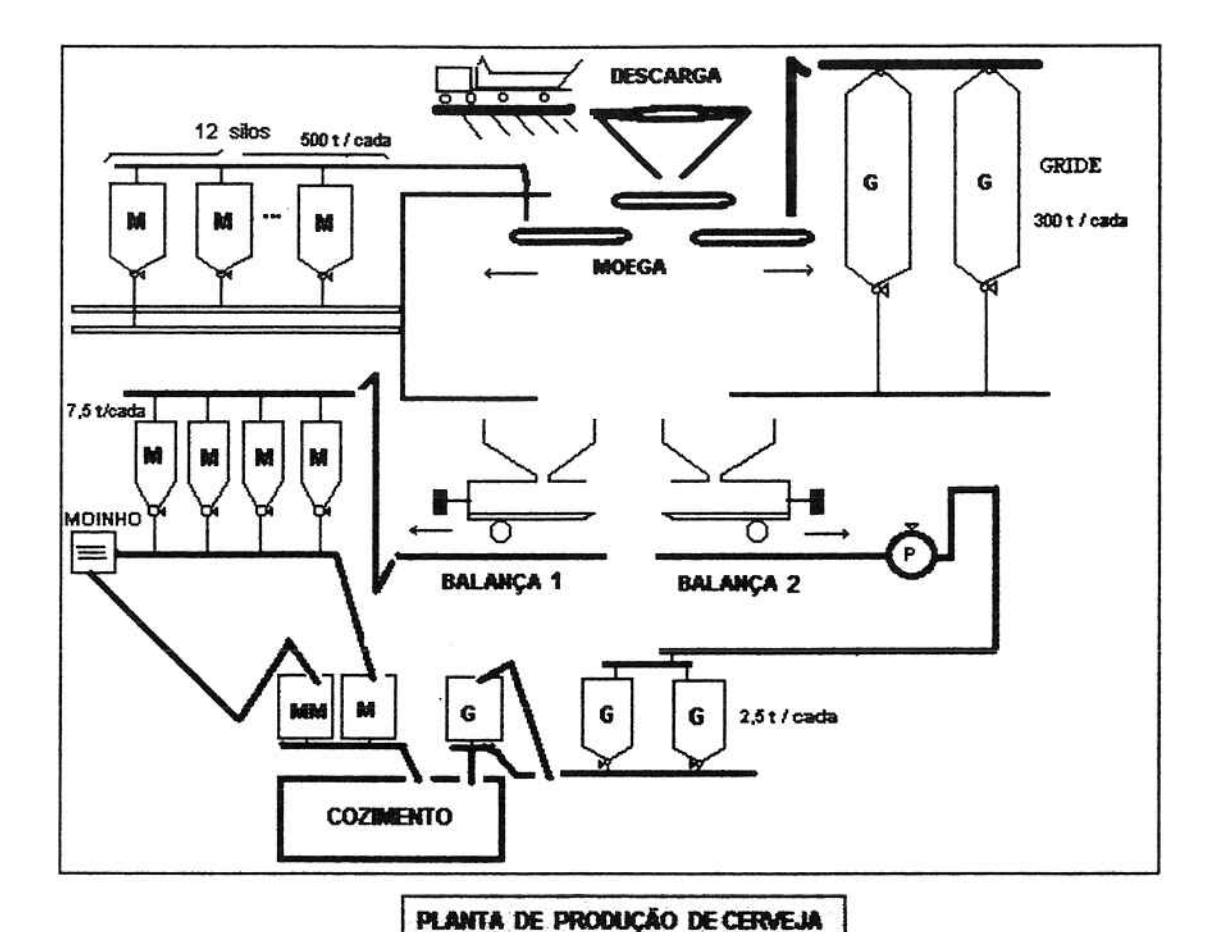


figura 3 - processo industrial a ser simulado

A planta possui 12 silos de 500.000 kg de capacidade cada um para armazenar malte e 2 silos de 300.000 kg de capacidade cada um para armazenar gride, portanto a capacidade máxima de armazenamento é de 6.000.000 kg para malte e 600.000 kg para gride.

b - Transporte do malte e do gride para os silos intermediários:

O transporte tanto do malte como do gride é efetuado por correias transportadoras independentes. Cada linha de correia abastece uma balança do tipo monjolo que faz a medida de matéria-prima para cada produção.

Uma batelada para produção de cerveja é composta de 7.500 kg de malte e 2.500 kg de gride. Para executar essa medida tanto a balança do malte como a do gride liberam 50 kg por vez. Existe um contador para cada balança.

A planta utiliza quatro silos intermediários para o malte e cada um recebe

7.500 kg, e 2 silos intermediários para o gride de 2.500 kg de capacidade. Assim sendo, quando o contador da balança de malte registra 150 balançadas a correia transportadora da balança para o silo passa a carregar o próximo silo liberado. Se todos estão carregados o sistema interrompe a correia que abastece a balança com malte oriundo dos silos reservatórios. O mesmo procedimento é adotado para os silos intermediários de gride quando o contador registra 50 pesagens.

c - Carregamento dos silos sobre o cozinhador:

Três processos ocorrem de forma paralela:

• Um dos silos intermediários de malte é descarregado numa correia transportadora que necessita de 25 minutos para transportar 7.500 kg de malte para o silo sobre o cozinhador.

- Uma segunda correia transportadora abastece o moinho com parte do mesmo malte.
 Esse malte é processado durante 10 minutos no moinho e transportado para o silo malte moído sobre o cozinhador.
- Uma correia transportadora deposita
 2.500 kg de gride do silo intermediário para o silo de gride sobre o cozinhador.

d - Carregamento e cozimento:

O cozinhador denominado " panela " é carregado em 7 minutos pela batelada de malte e gride.

Em seguida inicia o processo de cozimento. Quando esse processo termina o conteúdo é descarregado para outro setor da planta. O cozinhador é limpo.

O processo de carregamento, cozimento, retirada e limpeza leva um total de 2 horas.

2º Etapa - Definição do modelo de simulação:

A descrição do sistema enfocará até os silos intermediários de malte; no modelo, os módulos mostrados na figura 4 representam a planta real. O software Arena dispõe de módulos padronizados para o modelamento da planta. A figura 4 ilustra o modelo de simulação da fábrica produtora de cerveja construído no ambiente Arena. Os módulos lógicos e funcionais que modelam a planta serão descritos a seguir:

1º módulo: arrive

Representa a chegada de malte ao sistema (vide Apêndice). A unidade será 50 kg, sendo que essa é a unidade medida pela balança. Assim sendo, para efeito de discretização da simulação cada caminhão de 18.000 kg carregará o sistema com 360 blocos de 50 kg cada um.

2º módulo: servidor (descarga_m)

Simula a descarga do caminhão. O tempo de processo é 360 blocos de 50 kg a cada 30 minutos. Portanto, o tempo de processo é de 0,00833 minutos por bloco.

O tempo de rota até o próximo servidor moega é zero, pois ambos estão fisicamente integrados num só espaço da planta.

3º módulo: servidor (moega)

Simula o processamento na moega. O tempo de processamento é de 0,0167 minutos por bloco.

O tempo de rota até os silos de armazenamento é de 0,194 minutos por bloco, uma vez que a correia transportadora necessita de 70 minutos para transportar 360 blocos de 50 kg cada um.

4º módulos: servidor silo_1, assign, servidor razão_ss1, assign, assign, tally

Os seis módulos seguintes simulam a quantidade de malte que fica armazenada nos silos intermediários.

O primeiro servidor (silo_1) opera como entrada dos blocos no silo.

O primeiro assign calcula a razão de entrada definida como a variável (vol_e_sm1). O seu incremento é de 50 kg a cada bloco recebido. O valor em tempo real de simulação da taxa de chegada é mostrado no módulo animate (vol. de entrada do silo malte).

O segundo servidor (razão_ss1) opera para dar o atraso necessário por bloco para juntamente com o próximo assign calcular o volume de saída do silo.

O módulo assign conectado ao servidor razão_ssl calcula o volume de saída através da variável vol_s_sml. O volume de saída é mostrado no animate (volume de saída do silo malte).

O próximo módulo assign calcula o volume armazenado no silo computando a diferença entre a entrada e a saída mais o retorno do módulo choose quando os silos intermediários estão carregados. O volume é mostrado no módulo animate (volume do silo de malte).

5° módulo: servidor (balan m)

Simula a entrada do malte na balança tipo monjolo. O tempo de processo é de 0,283 minutos por bloco e o tempo de rota até os silos intermediários é de 0,4 minutos por bloco.

6° módulos: servidor silo_int, assign, choose, assign, server, assign, assign, depart

De forma análoga ao 4º grupo de módulos, calculam o volume nos silos intermediários de malte.

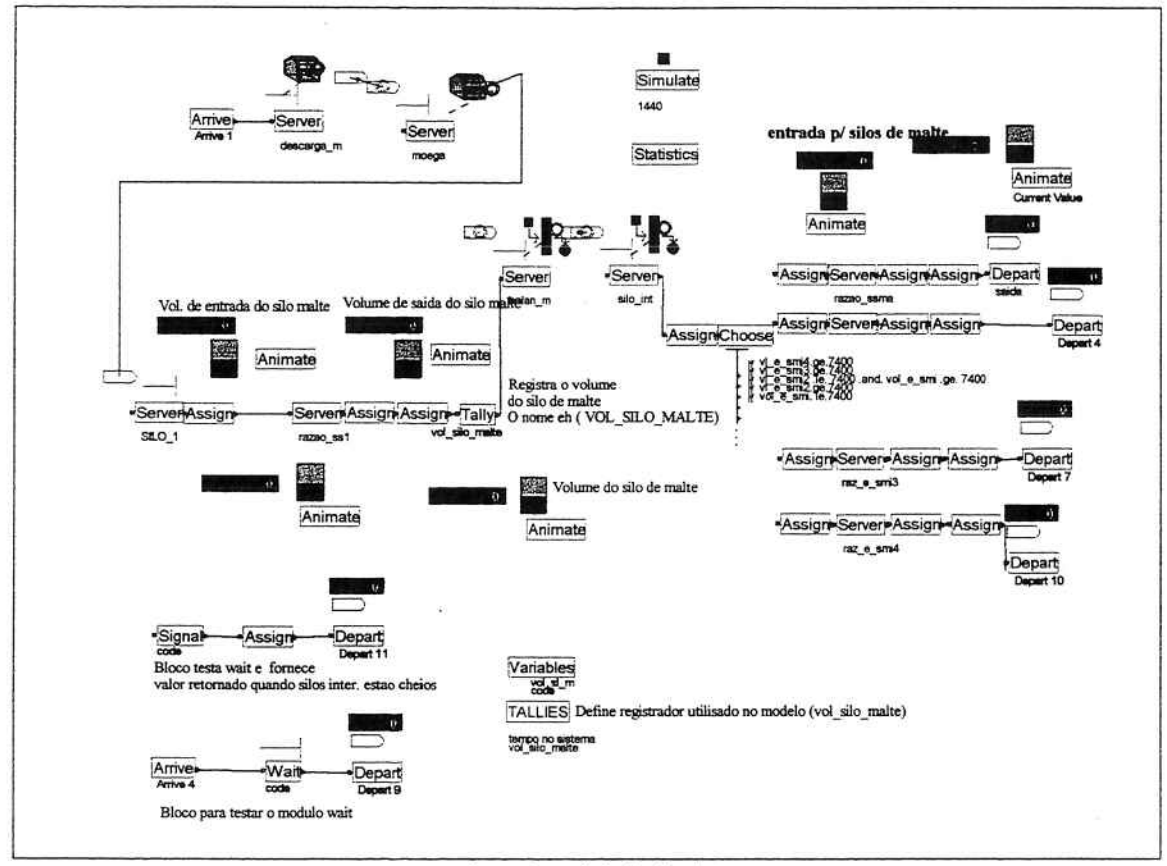


figura 4 - modelo de simulação

modelo não está Neste sendo computado o volume de saída. Portanto, cada silo intermediário é enchido até a sua capacidade máxima (7.500 kg) e depois o fluxo do malte é desviado para o próximo silo disponível. Quando os quatro silos estão completos o fluxo é interrompido, mas na simulação esta interrupção é computada como o redirecionamento do fluxo do silo de armazenamento para os módulos signal e assign, os quais farão, juntamente com o último assign do 4º grupo de módulos, a compensação volumétrica da retirada do silo de malte.

3°, 4° e 5° Etapas - Processar a simulação análise dos resultados

Nestas simulações de operação a planta operará durante 1440 minutos, ou seja, um dia completo com três turnos de 8 horas cada um.

Os índices aferidos são: tempos médio e máximo de cada bloco de 50 kg na fila da plataforma de descarga e na moega, números médio, máximo e final de blocos de 50 kg na fila da plataforma de descarga e na moega e a tonelagem final estocada nos silos intermediários. Também será determinado quanto tempo o sistema necessita para atingir 30% da capacidade de armazenamento nos silos intermediários. Tais índices permitem a análise da performance da planta.

III Resultados e Conclusões

Dentre os resultados conseguidos da simulação obtém-se as seguintes conclusões com relação aos tópicos abaixo:

III.1 Determinação do tempo necessário para que o sistema atinja 30% da sua capacidade de armazenamento.

A primeira questão de interesse nesta pesquisa diz respeito a quanto tempo e recursos o sistema necessita, uma vez colocado em operação e sendo abastecido com veículos a uma taxa de chegada de um veículo por hora segundo a função probabilística exponencial, para que o nível dos reservatórios dos silos de armazenamento atinja 30% da sua capacidade máxima (1.800.000 kg)?

Verifica-se também que com a taxa de chegada de um veículo por hora qualquer incremento dos recursos da planta como número de plataformas de descarga, número de moegas, ou aumento da velocidade das correias transportadoras, não implicarão nenhum incremento da estocagem dos silos.

III.2 Em relação ao incremento dos recursos na planta instalada e determinação dos gargalos produtivos.

Para se determinar o(s) gargalo(s) produtivo(s) da planta adotou-se a seguinte estratégia na simulação:

Fixa-se uma determinada configuração da planta e incrementa-se a razão de chegada de veículos. Para cada razão específica de chegada obtêm-se os resultados pertinentes ao desempenho do sistema durante o período de operação de 1440 min, ou seja, um dia completo de três turnos de oito horas cada um.

Esses resultados estão mostrados nas tabelas 2 e 3, e nos gráficos 1, 2 e 3.

Analisando as tabelas e gráficos verifica-se que até o limite de uma taxa de veículos de um a cada 20 minutos o gargalo ou ponto de estrangulamento da produção é a moega. O incremento do armazenamento depende do número de moegas e da razão da taxa de chegada. O incremento de recursos em diversos outros setores da planta não implicará nenhum ganho de produtividade.

cap. de descarga (n°)	cap. da moega (nº)	route time * min.	armazenamento do silo (kg)	percentual do total de volume dos silos de armazenamento		
1	1	0,194	1.802.212	30 %		
2	1	0,194	1.822.000	33 %		
1	2	0,194	1.822.000	33 %		
2	2	0,194	1.822.200	33 %		
1	1	0,136	1.802.300	30 %		
1	2	0,136	1.822.400	33 %		

TABELA 1 - SIMULAÇÃO PARCIAL DA PLANTA INDUSTRIAL PRODUTORA DE CERVEJA. RAZÃO DE CHEGADA DE CAMINHÕES: EXPO(60). TEMPO DE SIMULAÇÃO DE OPERAÇÃO = 6500 MIN.

^{*} trata-se do tempo de rota entre o servidor Moega e o processo seguinte.

cap. descarga (nº)	cap. moega (n°)	route time *(min)	tempo de fila de cada bloco de 50 kg no servidor descarga (min)		tempo de fila de cada bloco de 50 kg no servidor moega (min)		nº de biocos de 50 kg (descarga)			nº de blocos de 50 kg (moega)			estocagem final após período de operação (kg)
			MED.	MAX.	MED.	MAX.	MED.	MAX.	FINAL	MED.	MAX.	FINAL	
1	1	0,194	29,72	105,94	257,89	546,6	234,72	1272	231	2020	3488	2715	398700
2	1	0,194	9,31	32,77	281,5	583,45	74,54	788	102	2180,2	3667	2843	398700
1	2	0,194	29,72	105,94	0,16	0,56	234,72	1272	231	1,24	7	1	534200
2	2	0,194	9,31	32,77	20,52	73,52	74,54	788	102	161,08	882	128	534250
3	2	0,194	5,53	17,76	24,34	88,51	44,22	642	0	191,4	1062	232	534250
2	3	0,194	9,31	32,77	4,84	20,5	74,54	788	102	38,2	369	65	537200
3	3	0,194	5,53	17,76	8,62	35,41	44,22	642	0	68,3	639	168	537250
3	4	0,194	5,53	17,76	3,81	15,1	44,22	642	0	30,37	361	105	540200
4	4	0,194	3,88	10,28	5,43	22,52	31,05	496	0	43,38	540	104	540250

TABELA 2 - SIMULAÇÃO PARCIAL DA PLANTA INDUSTRIAL PRODUTORA DE CERVEJA. RAZÃO DE CHEGADA DE CAMINHÕES: EXPO(50). TEMPO DE SIMULAÇÃO DE OPERAÇÃO: 1440 MIN.

^{*} trata-se do tempo de rota entre o servidor Moega e o processo seguinte.

cap. descarga (nº)	cap. moega (n°)	route time *(min)	tempo de fila de cada bloco de 50 kg no servidor descarga (min)		tempo de fila de cada bloco de 50 kg no servidor moega (min)		n° de blocos de 50 kg (descarga)			n° de blocos de 50 kg (moega)			estocagem final após período de operação (kg)
			MED.	MAX.	MED.	MAX.	MED.	MAX.	FINAL	MED.	MAX.	FINAL	
1	1	0,194	303,6	547,17	360,83	721,66	5320,2	9145	8633	4331,5	8664	8663	401150
2	1	0,194	20,26	62,73	520,63	1058.8	364,67	1508	0	9286,6	17369	17297	401150
ī	2	0.194	303,6	547,17	1.72	3,45	5320,2	9145	8633	20,7	42	41	832050
2	2	0.194	20,26	62,73	285,03	534,21	364,67	1508	0	4975,3	8818	8674	832050
3	2	0,194	8,65	31,16	296,73	538,7	155,66	1125	0	5184,3	9066	8674	832050
2	3	0.194	20,26	62,73	44,54	111,59	364,67	1508	0	797,12	2005	238	1253700
3	3	0.194	8,65	31,16	56,05	140,69	155,66	1125	0	1005,6	2529	237	1253700
4	3	0,194	5,40	18,66	59,3	145,69	97,3	900	0	1064	2619	237	1253700
3	4	0.194	8,65	31,16	11,75	42,23	155,56	1125	0	211,5	1012	0	1266300
4	4	0.194	5.40	18.66	14.97	49,64	97.3	900	0	269,47	1192	0	1266300

TABELA 3 - SIMULAÇÃO PARCIAL DA PLANTA INDUSTRIAL PRODUTORA DE CERVEJA. RAZÃO DE CHEGADA DE CAMINHÕES: EXPO(20). TEMPO DE SIMULAÇÃO DE OPERAÇÃO: 1440 MIN.

* trata-se do tempo de rota entre o servidor Moega e o processo seguinte.

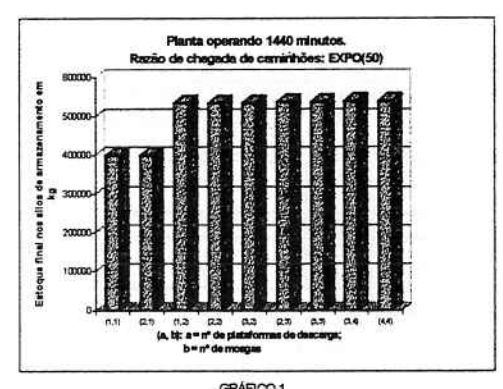


GRÁFICO 1

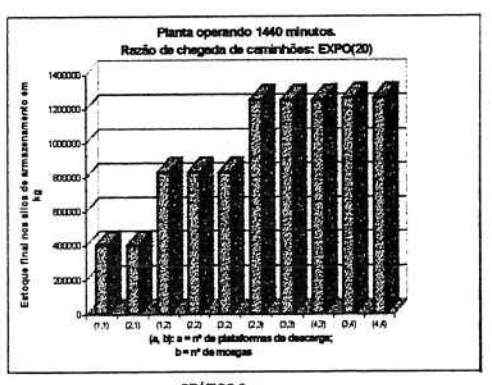
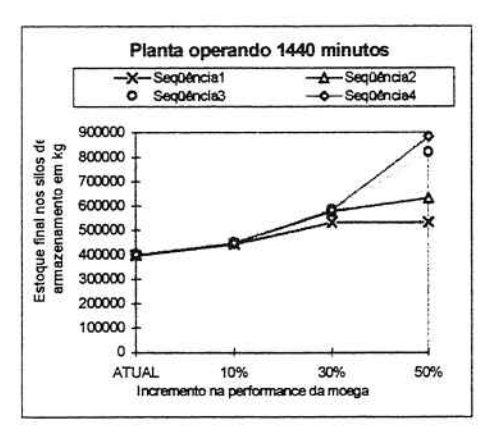


GRÁFICO 2



- GRÁFICO 3
- Sequência 1: refere-se à razão de chegada de caminhões EXPO(50)
- Sequência 2: refere-se à razão de chegada de caminhões EXPO(40)
- Sequência 3: refere-se à razão de chegada de caminhões EXPO(30)
- Sequência 4: refere-se à razão de chegada de caminhões EXPO(20)

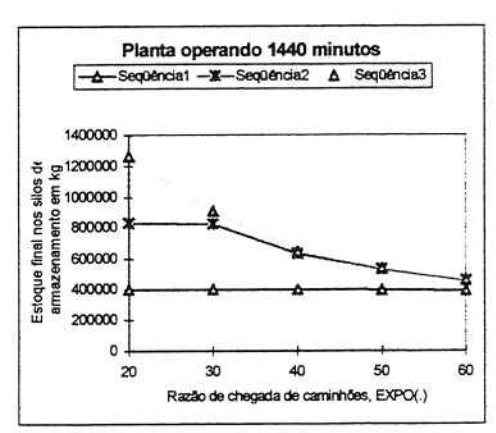


GRÁFICO 4

- Seqüência 1: refere-se às combinações (1, 1) e (2, 1).
- Seqüência 2: refere-se às combinações (1, 2), (2, 2) e (3, 2). Seqüência 3: refere-se às combinações (2, 3), (3, 3), (3, 4) e (4, 4).

Cada combinação é da forma (a, b), com a = nº de plataformas de descarga e b = nº de moegas

III.3 Incremento da capacidade produtiva do gargalo mediante investimentos de automação.

Identificada a moega como o gargalo da planta, deseja-se saber o quanto se terá de incremento de produção se forem feitos investimentos para a melhoria de *performance* da moega. Estes investimentos em automação da moega visando à melhoria de desempenho serão analisados para todas as taxas de chegada de veículos e supondo-se uma melhoria de desempenho de 10%, 30% e 50% respectivamente.

O **gráfico 4** ilustra os resultados obtidos na simulação.

Vê-se que a melhoria da performance da moega implica o aumento da capacidade de armazenamento, o que pode inclusive implicar uma estocagem de 104,6% maior de malte quando ela é carregada com caminhões chegando a uma taxa de um a cada 30 minutos, desde que ela esteja operando com um incremento de 50% de sua performance.

Tal índice de produção da planta operando normalmente somente seria obtido se houvesse duas moegas. Ou seja, uma moega operando com incremento de 50% de desempenho produz nesta configuração de planta o mesmo que duas moegas operando normalmente.

Esses dados podem ser levados em consideração para, por exemplo, justificar o quanto se deve ter de investimentos em automação visando ao incremento de performance da moega para aumentar-se a velocidade de estocagem.

V Bibliografia

- Pereira, Sergio L. "Simulação e Análise de Desempenho de Planta Industrial Utilizando Software Arena Visando à Otimização de Sistemas Integrados de Produção ". Relatório Técnico Convênio EPUSP-Rockwell Automation, 1997
- Arena User's Guide. Systems Modeling Corporation, 1996
- Arena Professional Edition Reference Guide. Systems Modeling Corporation, 1994-1996

- Pereira, Sergio L. "Aspectos sobre Processos Automatizados de Pesagem Rodoferroviária: Uma Proposta de Modernização de Postos em Operação "-Tese de Doutoramento, São Paulo, EPUSP, 1995
- Peterson, J. L. Petri net theory and modelling of systems. Englewood Cliffs, Prentice Hall, 1981.
- Gelenbe, E.; Pujolle, G. Introduction to queuing networks. John Wiley, New York, 1987.
- Kleinrock, L. Queuing systems. New York, John Wiley, 1975
- Morrison, N. Introduction to sequential smoothing and prediction. New York, McGraw-Hill, 1969.
- Hax, CA; Candea D. Production and inventory management. Englewood Cliffs, Prentice Hall, 1984.

BOLETINS TÉCNICOS - TEXTOS PUBLICADOS

- BT/PEA/9301 Alguns Aspectos do Problema de Planejamento de Sistemas de Transmissão sob Incertezas CARLOS MARCIO VIEIRA TAHAN, ERNESTO JOÃO ROBBA
- BT/PEA/9302 Vibrações em Motores Elétricos Provocadas por Forças Magnéticas ORLANDO SILVIO LOBOSCO , HENRIQUE PRADO ALVAREZ
- BT/PEA/9303 Corrente Contínua em Alta Tensão: Aplicação de Equipamentos Elétricos e Modelos para Análises de Confiabilidade LINEU BELICO DOS REIS
- BT/PEA/9504 Automação e Informatização Aplicadas a Controle e Supervisão de Processos de Pesagem EVALDO ARAGÃO FARQUI, EDUÁRDO MÁRIO DIAS
- BT/PEA/9505 Modernização e Reabilitação de Usinas Hidrelétricas DJALMA CASELATO, ADERBAL DE ARRUDA PENTEADO JR.
- BT/PEA/9506 Estudo do Campo Elétrico Provocado por Linhas de Transmissão em Corrente Alternada CELSO PEREIRA BRAZ, JOSÉ ANTONIO JARDINI
- BT/PEA/9507 Aspectos Sobre Processos Automatizados de Pesagem Rodoferroviária: Uma Proposta de Modernização de Postos em Operação SERGIO LUIZ PEREIRA, CÍCERO COUTO DE MORAES
- BT/PEA/9508 Usinas Hidrelétricas em Rotação Ajustável: Novas Premissas para o Planejamento Energético MARCO ANTONIO SAIDEL, LINEU BÉLICO DOS REIS
- BT/PEA/9509 Desenvolvimento de um Sistema de Automação de Subestações pela integração de Módulos de Software e Hardware Existentes no Mercado Brasileiro L. C. MAGRINI, J. A. JARDINI, S. COPELIOVITCH, N. KABA FILHO
- BT/PEA/9510 Proposta de um Modelo para Estudos de Aplicação de Compensadores Estáticos em Sistemas de Potência JOSÉ TOSHIYUKI HONDA, LUIS CERA ZANETTA JÚNIOR
- BT/PEA/9511 Metodologia e Testes para Redução das Distâncias Elétricas entre Fases de Barramentos de Subestações de 138kV Abrigadas, ANDRÉ NUNES SOUZA, ORLANDO SILVIO LOBOSCO
- BT/PEA/9512 Avaliação da Severidade da Poluição para o Dimensionamento da Isolação das Redes Elétricas ARNALDO G. KANASHIRO, GERALDO F. BURANI
- BT/PEA/9513 Processos Auto-Adaptativos para Cálculo de Campos Eletromagnéticos pelo Método dos Elementos Finitos LUIZ LEBENSZTAJN, JOSÉ ROBERTO CARDOSO
- BT/PEA/9514 Investigação Experimental sobre os Arcos Sustentados em Sistemas Elétricos de Baixa Tensão FRANCISCO H. KAMEYAMA, GERALDO F. BURANI
- BT/PEA/9515 Fast Voltage Compensation: A Mean to Improve the Quality of Energy Supply H. ARANGO, JOSÉ ANTONIO JARDINI
- BT/PEA/9516 Modelo Avançado para Planejamento de Sistemas Energéticos Integrados Usando Recursos Renováveis LUIZ ANTONIO ROSSI, LINEU BELICO DOS REIS
- BT/PEA/9601 Metodologias para Planejamento de Sistemas de Distribuição: Estado-da-Arte e Aplicações PAULO ROBERTO NJAIM, CARLOS MARCIO VIEIRA TAHAN
- BT/PEA/9602 Integração de Relés Digitais em Sistemas de Automação de Subestação JERÔNIMO CAMILO SOARES JR., JOSÉ Á. JARDINI, LUIZ C. MAGRINI
- BT/PEA/9603 Paradigma de Planejamento sob Incertezas Aplicação ao Planejamento dos Sistemas de Distribuição de Energia Elétrica ALBERTO BIANCHI JUNIOR, LINEU BELICO DOS REIS
- BT/PEA/9604 Um Sistema de Controle de Velocidade para Motor de Indução Trifásico CELSO KAZUMI NAKAHARADA, ADERBAL DE ARRUDA PENTEADO JR.
- BT/PEA/9605 Controle Vetorial de Motores de Indução, Independente das Alterações de Parâmetros da Máquina NERY DE OLIVEIRA JÚNIOR, WALDIR PÓ
- BT/PEA/9606 Compactação de Subestações de 145 kV Através da Redução das Distâncias entre Fases GERVASIO LUIZ DE CASTRO NETO, ORLÁNDO SILVIO LOBOSCO
- BT/PEA/9607 Curvas de Carga de Consumidores Industriais Agregação com Outras Cargas RONALDO PEDRO CASOLARI, JOSÉ ANTONIO JARDINI
- BT/PEA/9608 Utilização de Curvas de Carga de Consumidores Residenciais Medidas para Determinação de Diversidade de Carga, e Carregamento de Transformadores de Distribuição EDUARDO LUIZ FERRARI, JOSÉ ANTONIO
- BT/PEA/9609 Comportamento Elétrico de Cabos Cobertos e Pré-Reunidos pelo Método dos Elementos Finitos JOÃO JOSÉ DOS SANTOS OLIVEIRA, JOSÉ ROBERTO CARDOSO
- BT/PEA/9701 Repotenciação de Hidrogeradores: Uma Proposta de Metodologia de Análise e Implantação FÁBIO SALOMÃO FERNANDES SÁ, ADERBAL DE ARRUDA PENTEADO JR.

- BT/PEA/9702 Desenvolvimento de um Sistema de Automação para um Sistema de Automação para um Centro de Operação da Distribuição PAULO SÉRGIO MIGUEL SURUR, JOSÉ ANTONIO JARDINI
- BT/PEA/9703 Planejamento da Expansão do Sistema de Distribuição Utilizando Programação Matemática Probabilística MARIÂNGELA DE CARVALHO BOVOLATO, NELSON KAGAN
- BT/PEA/9704 Técnicas de Inteligência Artificial Aplicadas ao Problema de Planejamento da Expansão do Sistema de Distribuição de Energia Elétrica SALETE MARIA FRÓES, NELSON KAGAN
- BT/PEA/9705 Aproveitamento Funcional de Sistemas de Controle e Proteção Digitais em Subestações de Distribuição JOSÉ LUIZ PEREIRA BRITTES, JOSÉ ANTONIO JARDINI
- BT/PEA/9706 Avaliação de Algoritimo para Proteção Diferencial de Transformadores LUÍS SÉRGIO PIOVESAN, EDUARDO CÉSAR SENGER
- BT/PEA/9707 Sistema de Proteção para Faltas de Alta Impedância CAIUS VINICIUS SAMPAIO MALAGODI, EDUARDO CÉSAR SENGER
- BT/PEA/9708 Um Ambiente para Planejamento da Operação de Sistemas de Distribuição de Energia Elétrica KLEBER HASHIMOTO, NELSON KAGAN
- BT/PEA/9709 Análise do Custo Benefício da Instalação de Equipamentos de Proteção em Redes Aéreas de Distribuição ANTONIO CLAUDINEI SIMÕES, JOSÉ ANTONIO JARDINI
- BT/PEA/9710 Planejamento Integrado de Recursos Energéticos PIR para o Setor Elétrico MIGUEL EDGAR MORALES UDAETA, LINEU BELICO DOS REIS
- BT/PEA/9711 Análise de Defeitos no Motor de Indução Trifásico para Predição de Falhas Incipientes JOSÉ ANTONIO URCIA MISARI, CÍCERO COUTO DE MORAES
- BT/PEA/9712 Gerenciamento de Transformadores de Distribuição com Análise na Perda de Vida CARLOS MÁRCIO VIEIRA TAHAN, VLADIMIR DUARTE BELCHIOR
- BT/PEA/9713 Uma Nova Metodologia para a Avaliação de Sistemas de Aterramento Metro-Ferroviários JOSÉ AUGUSTO PEREIRA DA SILVA, JOSÉ ROBERTO CARDOSO
- BT/PEA/9714 Um Exemplo de Decomposição de Fluxos em Transformadores NICOLAU IVANOV, LUIZ CERA ZANETTA JR.
- BT/PEA/9715 Custos de Transporte de Energia Elétrica Análise de Metodologias DÁRIO TAKAHATA, CARLOS MÁRCIO VIEIRA TAHAN
- BT/PEA/9716 Bancada de Ensaios para a Avaliar o Comportamento de Acionamentos Controlados por Inversores PWM JOSÉ ANTONIO CORTEZ, ADERBAL DE ARRUDA PENTEADO JR.
- BT/PEA/9717 Integração de Técnicas de Diagnóstico de Falhas em Motores de Indução Trifásicos ao Sistema de Gerenciamento da Manutenção Industrial - JOSÉ A. URCIA MISARI, CICERO COUTO DE MORAES
- BT/PEA/9801 Análise de Confiabilidade para Gerenciamento Operacional de Sistemas Automatizados de Pesagem Rodo-Ferroviária - RUBENS LOPES ROLIM, CÍCERO COUTO DE MORAES
- BT/PEA/9802 Projeto de um Ondulador Híbrido e Estudo de Onduladores Derivados de Solenóide, para Utilização em Laser a Elétrons Livres FRANCISCO SIRCILLI NETO
- BT/PEA/9803 Configuração de Redes de Distribuição de Energia Elétrica com Múltiplos Objetivos e Incertezas através de Procedimentos Heurísticos CARLOS C. BARIONI DE OLIVEIRA, NELSON KAGAN
- BT/PEA/9804 Conceituação e Aplicação de Metodologia de Gerenciamento pelo Lado da Demanda em uma Empresa Distribuidora de Energía Elétrica FERNANDO MONTEIRO DE FIGUEIREDO, JOSÉ ANTÔNIO JARDINI
- BT/PEA/9805 Acoplamento Circuito Elétrico Método dos Elementos Finitos em Regime Transitório Utilizando a Metodologia de Dommel NANCY MIEKO ABE, JOSÉ ROBERTO CARDOSO
- BT/PEA/9806 Modelo de Arco Elétrico Aplicado ao Estudo da Interrupção da Corrente em Disjuntores de Média Tensão LUCILIUS CARLOS PINTO, LUIZ CERA ZANETTA JR.
- BT/PEA/9807 Proteção para Falta de Alta Impedância Utilizando o Sistema de Rádio Troncalizado MARCO ANTONIO BRITO, EDUARDO CESAR SENGER
- BT/PEA/9808 Contribuição ao Estudo e Projeto dos Motores Síncronos de Relutância IVAN EDUARDO CHABU, JOSÉ ROBERTO CARDOSO
- BT/PEA/9809 Cabos Cobertos: Metodologia para a Determinação da Espessura da Cobertura ANTONIO PAULO DA CUNHA, JOSÉ ANTÔNIO JARDINI
- BT/PEA/9810 Eletrificação Rural Avaliações em São Paulo MARCELO APARECIDO PELEGRINI, FERNANDO SELLES
- BT/PEA/9811 Política de Eletrificação Rural em São Paulo LUIZ HENRIQUE ALVES PAZZINI, FERNANDO SELLES RIBEIRO
- BT/PEA/9812 Uso Racional e Eficiente de Energia Elétrica: Metodologia para a Determinação dos Potenciais de Conservação dos Usos Finais em Instalações de Ensino e Similares ANDRÉ LUIZ MONTEIRO ALVAREZ, MARCO ANTONIO SAIDEL
- BT/PEA/9813 Diretrizes para a Regulação da Distribuição de Energia Elétrica JAMES S. S. CORREIA, LINEU BELLICO DOS REIS

- BT/PEA/9814 Distribuição da Tensão de Impulso em Enrolamentos de Transformadores de Distribuição PEDRO LUÍS SANTUCCI DE MENDONÇA, AUGUSTO FERREIRA BRANDÃO JÚNIOR
- BT/PEA/9815 Estudo Comparativo entre os Diversos Métodos de Determinação do Rendimento de Motores de Indução FRANCISCO ANTONIO MARINO SALOTTI, ORLANDO SILVIO LOBOSCO
- BT/PEA/9816 A Nodal Analysis Approach Applied to Electric Circuits Coupling in Magnetodynamic 2D FEM MAURÍCIO CALDORA COSTA, JOSÉ ROBERTO CARDOSO
- BT/PEA/9817 Informatização e Automação dos Órgãos Gestores de Mão de Obra EDUARDO MARIO DIAS, CÍCERO COUTO DE MORAES
- BT/PEA/9818 Freqüência de Ocorrência de Sobretensões Originárias de Descargas Atmosféricas em Linhas de Distribuição NELSON MASSAKAZU MATSUO, LUIZ CERA ZANETA JR.
- BT/PEA/9819 Um Método de Imposição de Pólos no Estudo da Estabilidade de Redes Elétricas a Pequenas Perturbações PERCIVAL BUENO DE ARAUJO, LUIZ CERA ZANETTA JR.
- BT/PEA/9820 Inter-Relação do Planejamento Agregado de Investimentos com o Planejamento Localizado de Sistemas de Distribuição de Energia Elétrica JUCEMAR SALVADOR SIMÕES, NELSON KAGAN
- BT/PEA/9821 A Produção de Energia Através das Células de Combustível JOSÉ LUIZ PIMENTA PINHEIRO, LINUE BELICO DOS REIS
- BT/PEA/9822 Automação de Processos Revisão e Tendências SERGIO LUIZ PEREIRA
- BT/PEA/9823 Metodologia para Seleção e Gerenciamento de Transformadores e Distribuição, Aplicando Técnicas de Redes Neutrais Artificiais SE UN AHN, JOSÉ ANTONIO JARDINI
- BT/PEA/9901 Contribuição ao Modelamento e Simulação de Motores em Ímãs Permanentes e Comutação Eletrônica de Alta Rotação WANDERLEI MÁRINHO DA SILVA, CLOVIS GOLDEMBERG
- BT/PEA/9902 Estudos de Sistemas de Potência e Automação: Plantas Industriais de Grande Porte MAURÍCIO G. M. JARDINI, JOSÉ A. JARDINI
- BT/PEA/9903 Synchronous Machines Parameters Identification Using Load Reejection Test Data E. C. BORTONI, J. A. JARDINI
- BT/PEA/9904 Indentificação de Locais e Opções Tecnológicas para Implantação de Termoelétricas no Sistema Elétrico Brasileiro: Contribuição ao Estado da Arte e Aplicação ao Caso do Gás Natural ELIANA APARECIDA FARIA AMARAL FADIGAS, LINEU BELICO DOS REIS
- BT/PEA/9905 Sistema de Manutenção Preventiva de Subestações: Uma Abordagem Semântica para o Monitoramento Integrado ELIAS ROMA NETO, ADERBAL DE ARRUDA PENTEADO JR.
- BT/PEA/9906 Previsão das Perdas Magnéticas na Presença de Harmônicos MARCELO S. LANCAROTTE, ADERBAL DE ARRUDA PENTEADO JR.
- BT/PEA/9907 Comportamento do Aterramento de Sistemas e Equipamentos de Distribuição sob Impulso CLEVERSON LUIZ DA SILVA PINTO, ADERBAL DE ARRUDA PENTEADO JR.
- BT/PEA/9908 Modelo de Sistema de Supervisão e Controle Operacional de Terminais de Contêineres LEVI SALVI, EDUARDO MARIO DIAS
- BT/PEA/9909 Medição de Altas Correntes em Frequência Industrial: Instrumentação, Dispositivos de Medição e Calibrações HÉLIO EIJI SUETA, GERALDO FRANCISCO BURANI
- BT/PEA/9910 Conversores Auto-Comutados Aplicados em Derivações de Sistemas de Transmissão de Corrente Continua e Alta Tensão WILSON KOMATSU, WALTER KAISER
- BT/PEA/9911 Análise de Desempenho de Sistemas de Aterramento em Alta Frequência pelo Método dos Elementos Finitos ANGELO PASSARO, JOSÉ ROBERTO CARDOSO, VIVIANE CRISTINE SILVA
- BT/PEA/9912 Simulação de Motores "Shaded Pole": Uma Nova Abordagem Analítico-Numérica PASCHOAL SPINA NETO, SÍLVIO IKUO NABETA, JOSÉ ROBERTO CARDOSO
- BT/PEA/9913 Estimadores de Estado para Sistemas de Potência: Análise do Estado da Arte CLEBER ROBERTO GUIRELLI, JOSÉ ANTONIO JARDINI
- BT/PEA/9914 Análise sobre o Comportamento de Sistemas de Proteção Contra Descargas Atmosféricas Utilizando o Método dos Elementos Finitos SEBASTIÃO C. GUIMARÃES JR., LUCIANO MARTINS NETO, JOSÉ ROBERTO CARDOSO
- BT/PEA/9915 Automatização do Atendimento a Reclamações de Interrupção de Energia Elétrica H. K. Kiyohara, L. C. Magrini, E. P. PARENTE, JOSÉ ANTONIO JARDINI
- BT/PEA/9916 Controle Digital de Tensão e Reativos PAULA S. D. KAYANO, LUIZ CARLOS MAGRINI, LINEU BELICO DOS REIS, ANTONIO JOSÉ GOMES CARMO, ELIAS DE SOUZA NETO
- BT/PEA/9917 Localizadores Digitais de Faltas em Linhas de Transmissão CARLOS EDUARDO DE MORAIS PEREIRA, LUIZ CERA ZANETTA JR.
- BT/PEA/9918 Religamento Monopolar em Linhas de Transmissão Propostas de Uma Ferramenta para Investigações Paramétricas IVANIL POMPEU, LUIZ CERA ZANETTA JR.
- BT/PEA/9919 Viabilidade Técnica de Abertura Monopolar Permanente em Linhas de Transmissão Extra Alta Tensão FABIANA AP. DE TOLEDO SILVA, JOSÉ ANTONIO JARDINI

- BT/PEA/9920 Avaliação do U-Net em Custers com Rede My com Rede Myrinet PAULO A. GEROMEL, SERGIO T. KOFUJI
- BT/PEA/9921 SAG Sistema de Apoio Gerencial via Internet ADRIANO GALINDO LEAL, JOSÉ ANTONIO JARDINI
- BT/PEA/9922 Desequilibrio de Tensão em Redes Secundárias de Distribuição PAULO VINÍCIUS SANTOS VALOIS, CARLOS MÁRCIO VIEIRA TAHAN
- BT/PEA/9923 Sistema Não Lineares Controlados pela Lógica Difusa: Uma Aplicação em Acionamentos Constituídos por Motores Assíncronos WERNER W. PACHECO LUJAN, CÍCERO COUTO MORAES
- BT/PEA/9924 Arborescência em Cabos Elétricos de Média e Alta Tensão JOÃO JOSÉ ALVES DE PAULA, ADERBAL DE ARRUDA PENTEADO JÚNIOR
- BT/PEA/9925 Estudo para Otimização de Desempenho de Plantas Industriais Automatizadas ANTONIO ORLANDO UGULINO, SERGIO LUIZ PEREIRA